

大型圧気ケーンの掘削沈下現象

東北電力KK八戸火力建設所 正員 宮坂節雄
正員 北松治男

1. 概論 八戸火力発電所基礎の大型圧気ケーンの沈下現象を、施工実績より推測し、現象に略々適合する設計条件を提示するものである。

2. 結論 概ね砂層上の、浅い入戸ケーンの沈下諸現象は、次の如く考えられる。

① 静止状態の軸体が沈下するための、周壁平均摩擦力は、 $2.26 \pm 0.05 \text{ t/m}$ 。又口の静的平均耐力は、又口面(巾 40cm)と水平に掘削した場合、 $39.9 \pm 2.3 \text{ t/m}^2$

② 沈下過渡接地圧 X は上記と異なり、 $b_{10} X = 0.230 \pm 0.808 \text{ t/m}$ 。茲に b_{10} =正規変量

③ 周壁摩擦力の急激沈下による減小率 $n(\%)$ は、 $\lambda = 1.53 \cdot e^{0.0725n}$ 、茲に λ =急激沈下高(cm)

④ それは、一旦沈下が止ると、80~90%まで瞬時に回復する。但し、完全回復には時間かかる。

⑤ 沈設後の自重は、中埋後も周壁と又口が受持つてゐる。尚建物載荷による変化を継続測定中である。

⑥ 周壁土圧は壁面傾斜がぬると殆どとなり、おがむと増す。

⑦ 鉄筋応力は、最大引張 123 、圧縮 218 kg/cm^2 、歪度 1×10^{-4} であるから、コンクリートの引張応力が大きくなりて、所謂、亀裂以前の状態にある。

⑧ 凹内圧による自然の沈下バランス調整作用が、現象の主役を努める。

⑨ 上記の要素をもとに、次の設計条件が観測に略々適合する。

a. 自重(水、砂荷重共) - 理論凹内圧 - 潟压分(2倍) = 下向不平衡力。

b. 周壁摩擦は長辺側だけに付き、 2.2 t/m

c. 予定沈下回数 N に対して $1/(2N)$ の超過確率をもつ又口耐力を②よりきめる。短辺は、先掘りする施工法をとるから反力 0

d. a b c の力のバランスより反力 0 となる又口延長が求まるので、これが左右半々に生じる片持条件、中央に生じる中抜条件、対角に生じる接りの条件の三者について構造強度を決定する。

e. 解は一方向の版として、簡易に求める。

3. 各論

⑩ 地質及び構造。地質は概ね砂層で、 $27'' \times 28''$ のボイラーケーン、 $23'' \times 46''$ のタービンケーンの2基のケーンを沈設した。2基共、格子構造で、高い作業室をもたせ、2段刃口を採用している。工事は昭和40年10月着工し、昭和41年4月に沈下を終了した。尚発電所の竣工は昭和43年9月の予定で、昭和42年1月より本館建家の建設を開始した。

⑪ ケーンの安全管理を主目的として、カールソン型の計器68台を埋設した。沈下中は、主要土圧計6、鉄筋計11の他、凹内圧、四隅水準オシロ測定し、凹内との直通連絡により危険を早期に発見する態勢をとった。これはほんの一例で、安全に対する万全の措置を講じたが、施工の詳細については此処では述べない。無事に沈下の完了した今月、もはや計器の主目的は達成した訳である。

が、
a. 沈下現象が幾らかはつきりしたほか、各項以下の附帯価値があつた。
b. 構造物打設後の温度履歴がわかり、かなり正確にコンクリートの強度を推定できたりで、真冬の船体施工にも拘わらず自信をもつて沈下施工を行えた。
c. コンクリートの打設直後、鉄筋計には 100 kg/cm² 程の初期応力を生じてゐる。これは、打設方法と関連があるようである。
d. コンクリートの硬化に伴う応力変動がはつきりする。砂セントルを使用し、作業室を打設したが、壁の打設に伴い若干の沈下を生じた形跡があり、仮応力の変化が認められる。

(12) 兩ケーリングの沈下 22 回中 15 回にわたり測定した記録は、例えば図 6～9 のオシロ記録と図 10 に翻訳し、函内の作業記録と共に解析の基礎とした。オシロ測定以外の計器は、度々静測定を行つたが、沈下期間中例えは函内圧の微妙な変化のみによつてもかならず船体が息づいて居り、持走時刻の測定値は、何を示してゐるのか条件がはつきりせず役立たない事は、既に公にされた各種の測定報告にも明うかな通りである。

(13) 静止状態の船体が沈下を始める瞬間の力と平衡より、自重 - 函内圧 = 刃口平均支持力 + 周壁平均摩擦力なる 2 变数実測方程式 24 回を立て、これが正規分布に従つてもうとして解いた結果(1)の数値を得た。

刃口支持力については、式を連立させるため掘削状況により異なる地耐力を標準の場合に換算する係数を算出し乗じてある。故に刃口支持力については、若干バラツキがあるが、周壁摩擦は精密な値を得た。函内圧とレベルの連続同時記録が整備されてゐるので誤差も少く、一見テフに見える沈下現象が非常に厳密な力のバランスに基いてゐる事が明らかとなつた。之等の数値によりかなり高精度で沈下条件を判定できる。

(14) 沈下の瞬間に刃口が急激に土中に押込まれるため、刃口地耐力は、(1)の静的平均値よりかなり大きい値を示す場合がある。底面土圧計の記録 95 回は、土圧計下をかなり掘込んでいれば少い値で強力に接地

図-1 圧気ケーリング平面図
及び土圧計の配置。

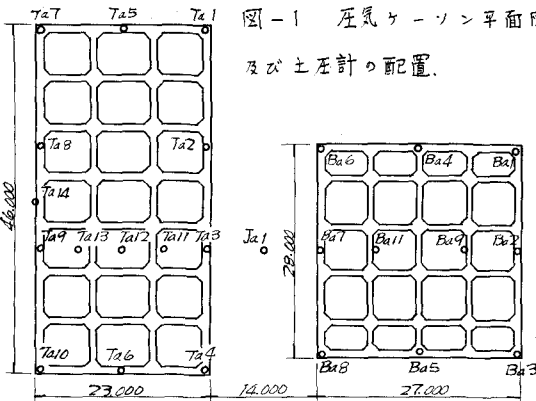


図-2 圧気ケーリング断面図及び接地圧推移図
23.000 14.000 27.000

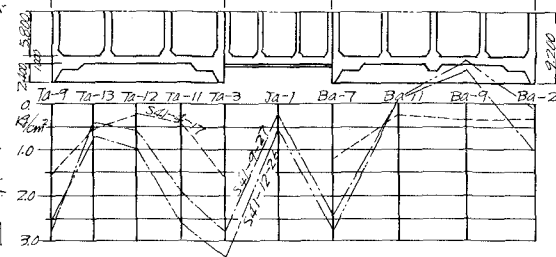
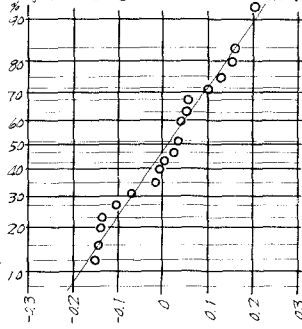


表-1 使用測定器

品名	仕 株	台数	取付位置及使用目的
土圧計	CE-16P	25	刃口底面 18 斷面 6 個面 1.
鉄筋計	2F-320C	43	作業室下筋 1/2 肇立筋 2 上筋 13.
電磁オシログラフ	600A型 2 台子	1	鉄筋計 12 土圧計 7.
動的直増巾器	DS6-RX6 希子	2	鉄筋計 12 土圧計 7.
DDM-6AT 請子	2	函内圧 1/コネ 1 ベル 4.	
圧力ベルト(配電盤)	PH4 20P 3.7kW	5	函内圧レベル検出.
差圧計	水銀不凍液	4	コネ 1 ベル 検出.
フレッシュマーキング	0-2 kg/cm ²	1	函内圧較正用.
ベビーコンパクト	5 kg/cm ²	1	函内圧較正用.
タイマー	30 秒 50 分	1	時間軸.
アラームボックス	120°	38	動的測定アラーム.
アラームボックス	85°	38	動的測定アラーム.
静的差測定器	CM-fF	1	静差測定.
スイッチボックス	NS-24E	2	静差測定.

図-3 周壁摩擦と刃口耐力の 2 变数方程式の残差.



押込の形となれば大きい値を示しているが、個々の土圧計についても全体として見ても、図4のように統計的分布は、対数正規型分布に従うと見らる。よつて最大圧力は②に示した如くなる。本式は地質のみでなく、施工の方法・巧拙が影響する所大と考えられ、かなり慎重に大型ケーリンの原則的施工法（短辺先行掘削後長辺一様掘削、1回当沈下落水量30m以内）に依つた場合と註釈をつけておく。又大きい接地圧は、構造作業性、土の巻込性などにより短辺先掘りを確実に行つたにも拘はらず最もすれば四隅に生じ易かつた。

⑮ 次に周壁摩擦について述べる。摩擦の性質上、静状態における極限値より動状態における極限値が少いことは予想される所であり、その程度に従つて荷重条件は様相の異なりとなる。今充分刃口下を掘込んだ状態で減圧沈下を行ひ、ロッキンア沈下が続いても刃口反力が生じてないケースを探し、自重、函内圧、周壁摩擦の三者の力の釣合を吟味した所、沈下落込時の周壁摩擦力は4ケースを総合して③及び図11のようになつた。適用範囲は沈下高30m以下と考えている。

⑯ 初沈下は一旦函内空気の圧縮自動昇圧によって止まり同時に周壁摩擦も或程度回復する。図6では89%の回復率を示している。又比較的短時間後に沈下させた2例では4分後に88%、32分後に93%であり砂盤とは云々完全回復にはかなり時間がかかる事を示している。

図-5 過重量沈下のレベル

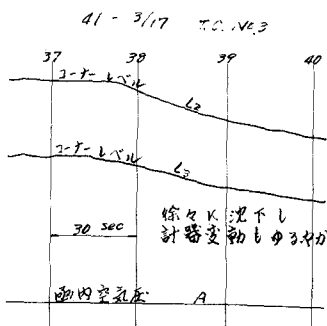


図-6 断気沈下(鉛直量)

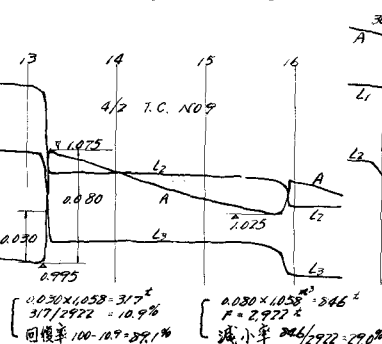


図-7 排気沈下のレベル

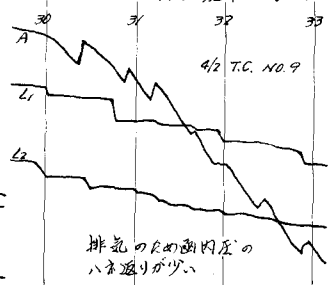


図-8 断気沈下の計器記録

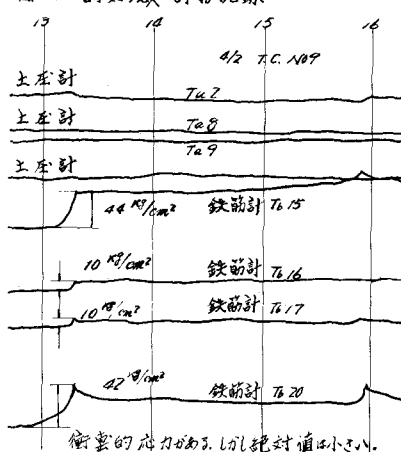


図-9 排気沈下の計器記録

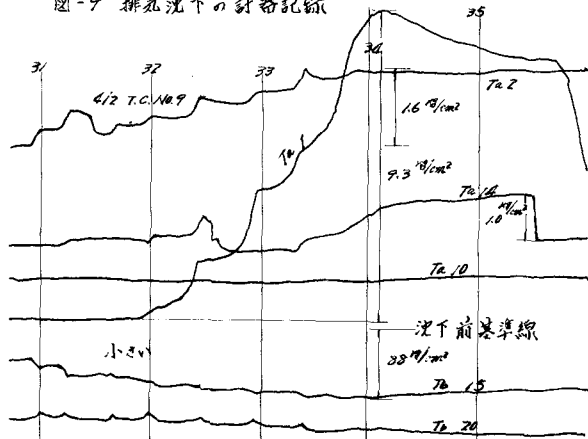
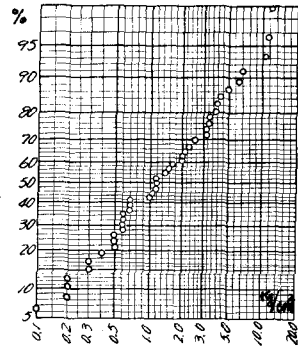
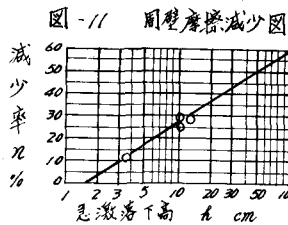


図-4 ターピンケーリン
沈下中最大接地圧の分布





(17) 自重が比較的軽く又口下掘後沈下する場合は、急激な沈下を生じ、エアツッショングにより急停止するためかなり顕著なショックがある。

(18) ⑨の条件による応力と実測値の対比を表2に示した。実測応力は必ずしも構造物の最大応力を記録していない、実を考慮し、適切な余裕をもつた条件と考えている。

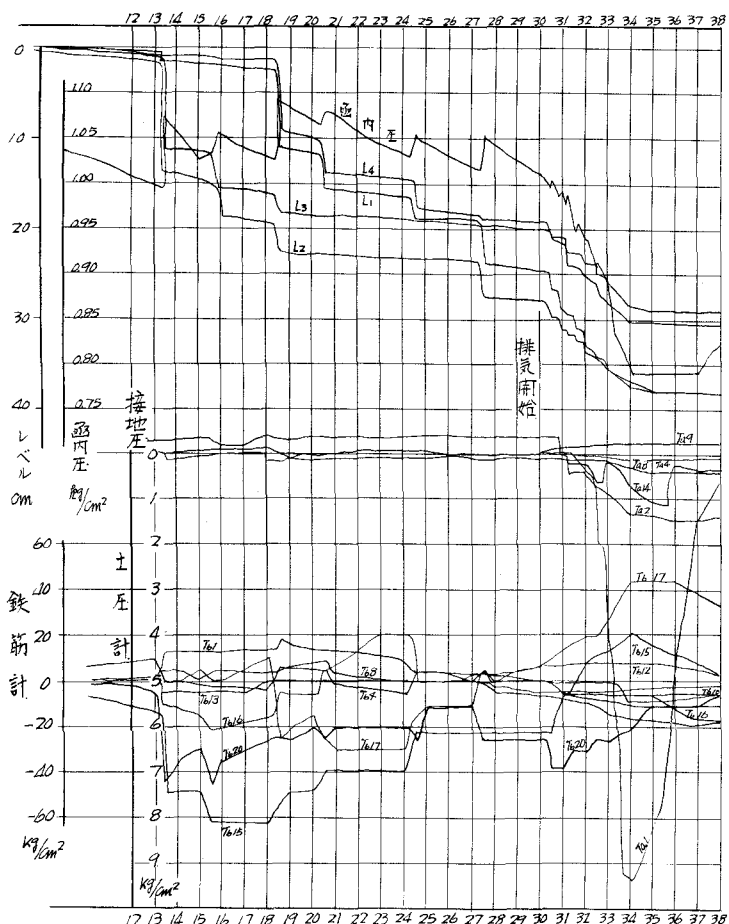
(19) ケーランの沈下バランスはかなり正確なもので、その力を与えなくては全く沈下しないし、一方適当な力のバランスとなうぬと沈下が止まらない。一見精巧な施工をするもの、如く見え乍ら、実

は頭内圧が一方では ちようど沈下に必要な力のバランスを与えるように、又危険な荷重状態となうぬように自然に自己調節して與れる。故に沈下の全期間を通じて姿勢制御可能な沈下バランスをとり(実はこれが最も重要な事で、過重量で又口迄相当中を残して沈下するような事態は、底面圧の変動がかなり大きい事実、振削管理の難しさ等から避ける必要がある)人為的に除去しきる不平衡振削原因をすべて除去する事を基本とすれば、大型ケーランは極めて安全な工法である事を述べて結びとする。

4 おわりに 八戸のケーランの沈下現象は、かなり説明できたようには思う。砂質地盤では今じ考へで設計施工にて太過なからうが、異質地盤についでは、造詣の深い諸氏の御教示を得たい。今回は極力憶測を避け、実測の概略を紹介するに止めた次第である。

図-10 八戸火力3号増設タービン基礎灌漿工事沈下応力測定記録

測定日時 昭和41年4月2日 TC NO. 9



12/13 14 15 16 17 18 19 20 21 22 23 24 25 26 27 28 29 30 31 32 33 34 35 36 37 38

	実測値	計算値	試験値
+M ₁ t ₁	450 *	586 *	760
G ₁ % t ₁	(-218)	-360	-260
G ₂ % t ₁	(+123)	+1230	+270
G ₃ % t ₁	-178	300	295
G ₄ % t ₁	(+68)	+2820	+70
G ₅ % t ₁	(-40)	-93	-20

(*)は測定最大値

右欄 * はコンクリート664.0とした換算値